

УДК 622.418

РАСЧЕТ ТЕМПЕРАТУРЫ И ВЛАЖНОСТИ ВОЗДУХА В ОХЛАЖДАЕМЫХ ТУПИКОВЫХ ВЫРАБОТКАХ

Самуся В.И., докт. техн. наук, проф.,

Оксень Ю.И., канд. техн. наук, доц., Данилюк Ю.Н., магистр

Национальный горный университет

Решена задача и разработан метод расчета температуры и влажности воздуха в охлаждаемых тупиковых выработках. Приведены результаты расчетов.

The problem is solved and the computational method of temperature and damp of air in cooled blind drifts designed. The results of calculations are given.

Проблема и ее связь с научными или практическими задачами

При охлаждении воздуха в тупиковых выработках на наружной и внутренней поверхностях вентиляционного трубопровода может происходить конденсация содержащегося в воздухе водяного пара, которая оказывает существенное влияние на формирование микроклимата выработок.

Анализ исследований и публикаций

Существующие методы тепловых расчетов шахт этот фактор не учитывают [1], либо учитывают недостаточно строго [2], в связи с чем, в случаях, когда указанные процессы имеют место, результаты расчета температуры и влажности воздуха, потребной холодильной мощности охлаждающих устройств могут быть отягощены существенной погрешностью.

Постановка задачи

Целью настоящего исследования является решение задачи и разработка метода расчета температуры и влажности воздуха в охлаждаемых тупиковых выработках с учетом конденсации водяного пара на наружной и внутренней поверхности вентиляционного трубопровода.

Изложение материала и результаты

В охлаждаемых тупиковых выработках с воздухоохладителями, встроенными в воздухопровод, можно выделить следующие характерные элементы: участки с воздухопроводом, воздухоохладители, и

призабойную зону (рис. 1). Воздухоохладители могут размещаться перед входным пунктом 1 и в любом сечении выработки. Предполагаем, что их может быть несколько.

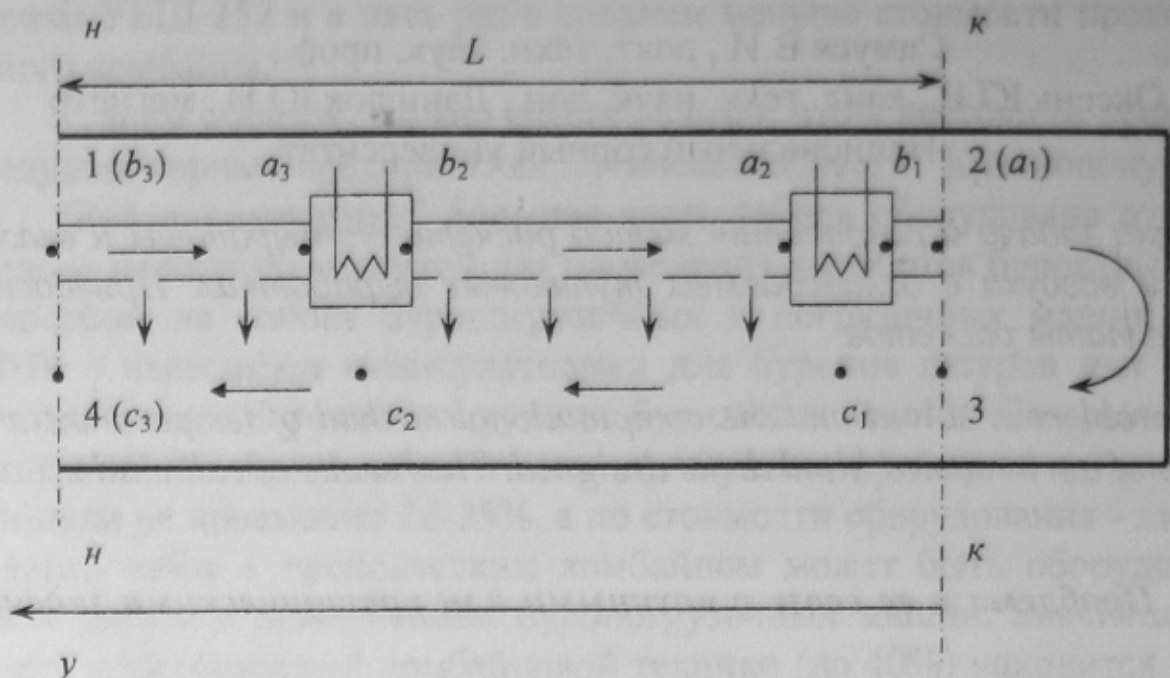


Рисунок 1 – Схема охлаждаемой тупиковой выработки

В качестве математической модели теплового взаимодействия вентиляционной струи с горным массивом на участках с воздухопроводом и в призабойной зоне принимается модель [3], разработанная нами ранее для расчета температуры и влажности воздуха в неохлаждаемых тупиковых выработках. Процесс поступления влаги в вентиляционную струю, эта модель рассматривает как процесс испарения ее на стенках выработок. При этом в качестве характеристики влажностного состояния стенок выработки на участках с воздухопроводом используется коэффициент влажности ψ , представляющим собой отношение периметра смоченной части периметра $U_{\text{вс}}$ ко всему периметру U поперечного сечения выработки

$$\psi = U_{\text{вс}} / U. \quad (1)$$

При расчете учитывается изменение расхода воздуха по длине трубопровода и выработки вследствие утечек через материал и стыки отдельных звеньев вентиляционных трубопроводов по формуле [4]

$$G = G_h e^{-bl}, \quad (2)$$

где G и G_h – расход воздуха в рассматриваемом (текущем) и начальном сечениях трубопровода; l – длина участка трубопровода между начальным и текущим сечениями; b – параметр, определяющий негерметичность трубопровода.

В связи с возможностью конденсации влаги на наружной и внутренней поверхности трубопровода плотность теплового потока через его стенку определяется как сумма явного и скрытого тепловых потоков

$$q_{tr} = q_{tr\text{ явн}} + q_{tr\text{ скрн}} = q_{tr\text{ явв}} + q_{tr\text{ скрв}}. \quad (3)$$

где $q_{tr\text{ явн}}$ и $q_{tr\text{ скрн}}$ – плотности явного и скрытого тепловых потоков, направленных от воздуха в выработке к наружной поверхности стенки трубопровода, а $q_{tr\text{ явв}}$ и $q_{tr\text{ скрв}}$ – то же от воздуха в трубопроводе к внутренней поверхности стенки.

Явные тепловые потоки рассчитываются по формулам

$$q_{tr\text{ явн}} = \alpha_{h\text{ тр}} (t - t_{h\text{ тр}}), \quad (4)$$

$$q_{tr\text{ явв}} = \alpha_{v\text{ тр}} (t_{tr} - t_{v\text{ тр}}), \quad (5)$$

а скрытые – в соответствии с [5] по формулам

$$q_{tr\text{ скрн}} = 0,0165 \alpha_{h\text{ тр}} (p - p_{h\text{ тр}}), \quad (6)$$

$$q_{tr\text{ скрв}} = 0,0165 \alpha_{v\text{ тр}} (p_{tr} - p_{v\text{ тр}}), \quad (7)$$

где $\alpha_{h\text{ тр}}$ и $\alpha_{v\text{ тр}}$ – коэффициенты теплоотдачи от воздуха в выработке к наружной поверхности стенки трубопровода и от воздуха в трубопроводе к внутренней поверхности стенки; t и p – температура воздуха в выработке и парциальное давление содержащегося в нем водяного пара; t_{tr} и p_{tr} – температура воздуха в трубопроводе и парциальное давление содержащегося в нем водяного пара; $t_{h\text{ тр}}$ и $t_{v\text{ тр}}$ – температура соответственно наружной и внутренней поверхно-

стей стенки трубопровода; $p_{\text{н тр}}$ и $p_{\text{в тр}}$ – давление насыщенного водяного пара при температурах $t_{\text{н тр}}$ и $t_{\text{в тр}}$.

Конденсация влаги на наружной и, соответственно, внутренней поверхности трубопровода происходит, если

$$p > p_{\text{н тр}} \quad (8)$$

и

$$p_{\text{тр}} > p_{\text{в тр}}. \quad (9)$$

Плотность теплового потока через стенку трубопровода находится следующим образом.

Вначале она рассчитывается в предположении, что конденсация влаги отсутствует. В этом случае

$$q_{\text{тр}} = \frac{t - t_{\text{тр}}}{\frac{1}{\alpha_{\text{н тр}}} + \frac{\delta_{\text{тр}}}{\lambda_{\text{тр}}} + \frac{1}{\alpha_{\text{в тр}}}}, \quad (10)$$

где $\lambda_{\text{тр}}$ и $\delta_{\text{тр}}$ – удельная теплопроводность материала и толщина стенки трубопровода.

Затем определяются температуры наружной и внутренней поверхностей стенки трубопровода $t_{\text{н тр}}$ и $t_{\text{в тр}}$ и для этих температур рассчитывается давление насыщенного водяного пара $p_{\text{н тр}}$ и $p_{\text{в тр}}$. Если выполняется одно из условий (8) или (9), то производится уточнение найденного значения $q_{\text{тр}}$ методом последовательных приближений с учетом явных и скрытых тепловых потоков.

При конденсации влаги на наружной поверхности трубопровода в результате решения трансцендентного уравнения

$$\alpha_{\text{н тр}}(t - t_{\text{н тр}}) + 0,0165\alpha_{\text{н тр}}(p - p_{\text{н тр}}) = \left(\frac{\lambda_{\text{тр}}}{\delta_{\text{тр}}} + \alpha_{\text{в тр}}\right)(t_{\text{н тр}} - t_{\text{тр}})$$

находится $t_{\text{н тр}}$, а затем по формулам (4), (6) и (3) – $q_{\text{тр}}$. При конденсации влаги на внутренней поверхности – в результате решения уравнения

$$\alpha_{\text{втр}}(t_{\text{тр}} - t_{\text{втр}}) + 0,0165 \alpha_{\text{втр}} (p_{\text{тр}} - p_{\text{втр}}) = \left(\frac{\lambda_{\text{тр}}}{\delta_{\text{тр}}} + \alpha_{\text{нтр}} \right) (t_{\text{втр}} - t)$$

находится $t_{\text{втр}}$, а затем по формулам (5), (7) и (3) – $q_{\text{тр}}$.

Коэффициенты теплоотдачи от потоков воздуха снаружи и внутри трубопровода к его стенке рассчитываются в соответствии с [1].

Связь между параметрами воздуха на концах отдельных участков выработки с воздухопроводом устанавливается путем интегрирования системы дифференциальных уравнений:

$$\begin{aligned} \frac{dt}{dy} = & \frac{1}{c_p G} [\alpha (t_{\text{сз}} - t) U - q_{\text{тр яв}} \pi D_{\text{тр}} + Q_l - \\ & - g G \sin \gamma + b G c_p (t_{\text{тр}} - t) - 3 b G \frac{w^2}{2}]; \end{aligned} \quad (11)$$

$$\frac{dx}{dy} = \frac{1}{r_0 G} [\beta r_0 (p_{\text{нвс}} - p) \psi U - q_{\text{тр скр н}} \pi D_{\text{тр}}] + b (x_{\text{тр}} - x); \quad (12)$$

$$\frac{dt_{\text{тр}}}{dy} = - \frac{1}{c_p G} \left(q_{\text{тр яв в}} \pi D_{\text{тр}} - g G \sin \gamma + 3 b G \frac{w_{\text{тр}}^2}{2} \right); \quad (13)$$

$$\frac{dx_{\text{тр}}}{dy} = - \frac{q_{\text{тр скр в}} \pi D_{\text{тр}}}{r_0 G}, \quad (14)$$

где α – коэффициент теплоотдачи от стенок выработки вентиляционной струе; $t_{\text{сз}}$ – эквивалентная температура частично увлажненной стенки выработки; Q_l – тепловыделения от абсолютных источников тепла, отнесенные к единице длины выработки; γ – угол наклона выработки к горизонту; β – коэффициент массоотдачи при испарении влаги на стенках выработки; $p_{\text{нвс}}$ – давление насыщенного водяного пара при температуре влажной части стенки выработки $t_{\text{вс}}$; g – ускорение свободного падения; c_p – изобарная теплоемкость воздуха; r_0 – удельная теплота парообразования; x и $x_{\text{тр}}$ – влагосодержание влаж-

ного воздуха в выработке и в трубопроводе; $D_{\text{тр}}$ – диаметр трубопровода; w и $w_{\text{тр}}$ – скорость воздуха в выработке и в трубопроводе; y – координата сечения выработки (см. рис. 1). Величины t_{c3} , t_{bc} и p_{hbc} рассчитываются в соответствии с [3].

При известных параметрах воздуха на одном из концов участка выработки с воздухопроводом задача интегрирования системы уравнений (11)-(14) представляет собой задачу Коши и может быть решена методом Рунге-Кутта. Проблема, однако, состоит в том, что известными являются только лишь параметры воздуха на входе в воздухопровод – в пункте 1 (рис. 1). На других границах участков интегрирования, которыми являются воздухоохладители и призабойная зона, известными являются зависимости, описывающие скачкообразные изменения температуры и влагосодержания воздуха в этих элементах системы. В связи с отмеченными особенностями задача расчета температурно-влажностного режима охлаждаемых тупиковых выработок представляет собой совокупность краевых задач интегрирования систем дифференциальных уравнений (11)-(14) с изменяющимися по определенным законам граничными условиями.

Она решена в оптимизационной постановке с помощью известного метода комплексов в сочетании с методом Рунге-Кутта.

В качестве искомых независимых переменных приняты: температура t_2 и влагосодержание x_2 воздуха на выходе из трубопровода – в пункте 2 (рис. 1), а также влагосодержание воздуха x_a , перед каждым i -м воздухоохладителем.

Решение задачи состояло в определении таких значений этих величин, при которых полученные в результате интегрирования системы дифференциальных уравнений температура t'_1 и влагосодержание t'_{bn} воздуха в пункте 1 в пределах погрешности расчета были бы близки к заданным t_1 и x_1 и обеспечивалась бы корректность моделирования процессов охлаждения воздуха в воздухоохладителях и изменения его состояния в воздухопроводе и в выработке. В соответствии с этим функция цели была сформулирована в следующем виде:

$$\Phi = \left(\frac{t'_1 - t_1}{\delta t} \right)^2 + A_1 \left(\frac{x'_1 - x_1}{\delta x} \right)^2 +$$

$$+ A_2 \sum_1^n \left(\frac{t'_{b_i} - t'_{b n_i}}{\delta t} \right)^2 + A_3 \sum_1^m \left(\frac{x'_{b_j} - x'_{b n_j}}{\delta x} \right)^2 \rightarrow 0, \quad (15)$$

где δt и δx – требуемые погрешности расчета температуры и влагосодержания воздуха; t'_{b_i} и $t'_{b n_i}$ – расчетная температура после i -го воздухоохладителя, получаемая в результате интегрирования системы дифференциальных уравнений для участка выработки с воздухопроводом, и температура насыщенного влажного воздуха при расчетном влагосодержании x'_{b_i} (интегрирование производится в направлении оси) y ; x'_{b_j} и $x'_{b n_j}$ – расчетное влагосодержание на j -м участке выработки с воздухопроводом и влагосодержание насыщенного влажного воздуха при расчетной температуре t'_{b_j} ; n – число воздухоохладителей; m – число участков выработки с воздухопроводом; A_1 , A_2 , A_3 – весовые коэффициенты.

Третье слагаемое в выражении (15) обеспечивает корректность моделирования процессов охлаждения воздуха в воздухоохладителях. Его составляющие учитываются, если $x'_{b_i} + \delta x < x_{a_i}$. На значения x'_{b_i} накладывается ограничение $x'_{b_i} < x_{a_i} + \delta x$.

Четвертое слагаемое введено для контроля корректности моделирования процессов изменения состояния воздуха в воздухопроводе. Его составляющие учитываются при $x'_{b_j} > x'_{b n_j}$.

Метод расчета реализован в виде компьютерной программы, составленной в Delphi 6.

В качестве примера результатов моделирования температурно-влажностного режима охлаждаемой тупиковой выработки на рис. 2 приведены полученные расчетом графики изменения температуры и влагосодержания воздуха в выработке (линии 1 и 3) и трубопроводе (линии 2 и 4). При расчете принято: температура пород 39°C , расход воздуха в начальном и конечном сечениях трубопровода $10,0$ и $7,0 \text{ м}^3/\text{с}$, $\psi = 1,0$, $D_{\text{тр}} = 0,8 \text{ м}$, $Q_l = 0$. Холодильная мощность воздухоохладителя, установленного на расстоянии $l = 1800 \text{ м}$ от устья выработки – 85 кВт .

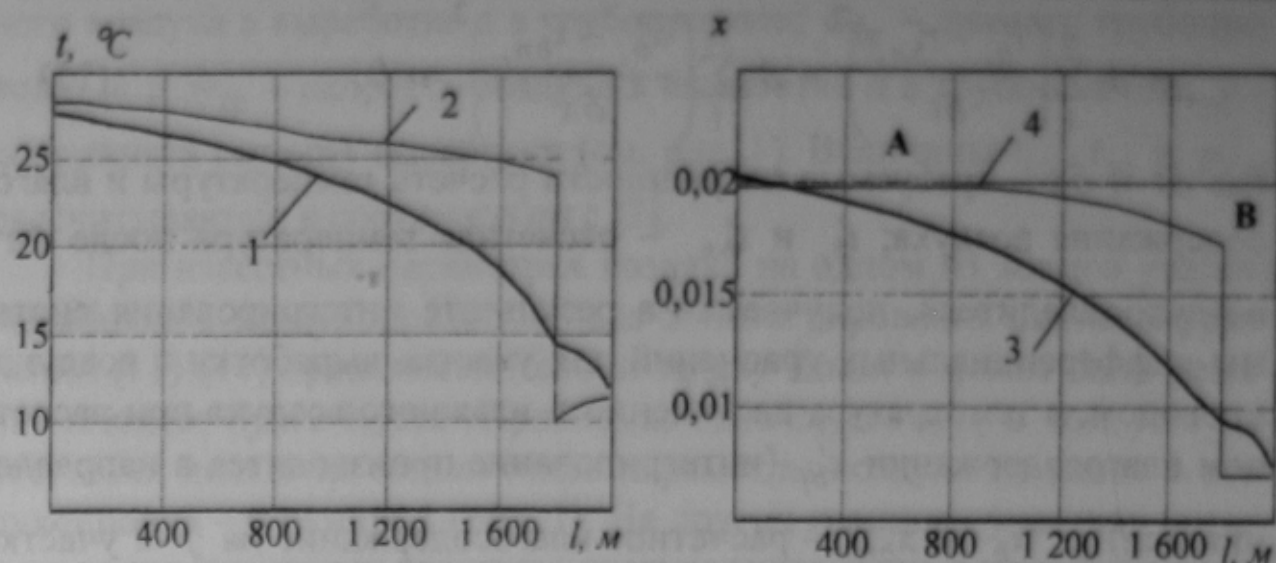


Рисунок 2 – Изменение состояния воздуха в воздухопроводе и свободном сечении тупиковой выработки

На рисунке скачкообразное изменение температуры и влагосодержания воздуха соответствует охлаждению его в воздухоохладителе. Изменение влагосодержания воздуха на участке *AB* кривой 4 свидетельствует о конденсации влаги внутри трубопровода.

Выводы и направление дальнейших исследований

Разработаны математическая модель и метод расчета температурно-влажностного режима охлаждаемых тупиковых выработок, отличающиеся учетом возможности конденсации влаги на наружной и внутренней поверхности трубопровода.

В дальнейшем они будут использованы при разработке методов проектирования кондиционирования воздуха в тупиковых выработках глубоких шахт.

Список источников.

1. Единая методика прогнозирования температурных условий в угольных шахтах / МакНИИ. – Макеевка–Донбасс, 1979. – 196 с.
2. Черняк В.П. Тепловые расчеты подземных сооружений. – К.: Наук. думка, 1993. – 199 с.
3. Оксень Ю.И. Метод расчета микроклимата тупиковых горных выработок // Наук. вісник НГАУ. – 2000. – № 2. – С. 41-44.
4. Пак В.В., Иванов С.К., Верещагин В.П. Шахтные вентиляционные установки местного проветривания. – М.: Недра, 1974. – 240 с.
5. Семешко Э.Г., Цейтлин Ю.А. Исследование тепломассообмена между вентиляционной струей и трубопроводами холодоносителя в горной выработке // Физ.-техн. проблемы разработки полезных ископаемых. – 1985. – № 3. – С. 53–59.